

# Gemini-PCS (Part I)

- Tianyu ZHENG [tian-yu.zheng@connect.polyu.hk](mailto:tian-yu.zheng@connect.polyu.hk)

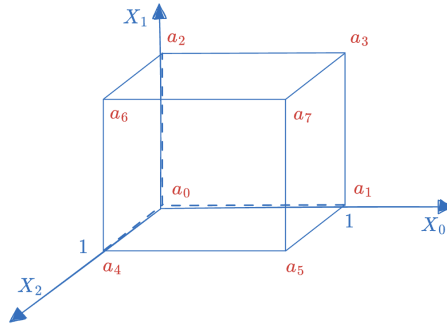
Gemini [BCH+22] 是一种 elastic SNARK，所谓 elastic 是指证明者可以通过设置参数在证明时间和内存之间权衡，以满足不同使用场景的要求。

作为 Gemini 的核心算法，Tensor Product Check 为我们提供了一种证明多元线性多项式 (Multilinear Polynomial) 求值的方法，如  $\tilde{f}(\vec{\rho}) = u$ 。换句话说，该方法实现了从多元多项式到一元多项式的转换，从而启发我们构造一种新的多元多项式承诺方案。

在具体构造上，Tensor Product Check 采用了与之前的工作 (Sumcheck, Bulletproofs, FRI) 类似的 split-and-fold 思想，达到了比较高效的通信和验证者复杂度，同时其证明者算法能够实现 elastic 性质。

## MLE and Tensor Product

在 Zeromorph 笔记中提到，一个 Multilinear Extension 唯一地对应到一个从 Boolean 向量映射到有限域的函数，形如  $f: \{0, 1\}^n \rightarrow \mathbb{F}_q$ 。下图是一个三维的 MLE 多项式  $\tilde{f}(X_0, X_1, X_2)$  的示例，这个多项式可以唯一地被  $(a_0, a_1, \dots, a_7)$  这个「点值向量」来表示。



同样地，一个 MLE 多项式也可以采用「系数式」来表示，例如上图可以写成

$$\tilde{f}(X_0, X_1, X_2) = f_0 + f_1 X_0 + f_2 X_1 + f_3 X_2 + f_4 X_0 X_1 + f_5 X_0 X_2 + f_6 X_1 X_2 + f_7 X_0 X_1 X_2 \quad (1)$$

该表达式中单项式的排序基于 Lexicographic Order.

除了「点值式」和「系数式」之外，接下来我们介绍一种新的表达形式——基于「张量积」 (Tensor product) 的表达式。

简单来说，张量积是两个向量之间的一种特殊“乘法”，记作  $\vec{a} \otimes \vec{b}$ 。具体来说，我们可以先计算  $ab^T$  (假设  $\vec{a}, \vec{b}$  均为列向量)，接着将得到的矩阵按列相接成一个向量，该向量即为张量积的结果。例如  $\vec{a} = (a_1, a_2)$  和  $\vec{b} = (b_1, b_2, b_3)$ :

$$\begin{bmatrix} a_1 \\ a_2 \end{bmatrix} \cdot [b_1, b_2, b_3] = \begin{bmatrix} a_1 b_1, a_1 b_2, a_1 b_3 \\ a_2 b_1, a_2 b_2, a_2 b_3 \end{bmatrix} \quad (2)$$

可得  $\vec{a} \otimes \vec{b} = (a_1 b_1, a_2 b_1, a_1 b_2, a_2 b_2, a_1 b_3, a_2 b_3)$ 。

对比我们之前提到的「系数式」表达的 MLE 多项式，我们会发现它的所有单项式都可以由一个连续的张量积得到：

$$(1, X_0) \otimes (1, X_1) \otimes (1, X_2) = (1, X_0, X_1, X_0 X_1, X_2, X_0 X_2, X_1 X_2, X_0 X_1 X_2) \quad (3)$$

我们将左式简记为  $\otimes_{j=0}^2 (1, X_j)$ 。那么一个 MLE 多项式可以写成内积形式：

$$\tilde{f}(X_0, X_1, X_2) = \langle \vec{f}, \otimes_{j=0}^2(1, X_j) \rangle \quad (4)$$

其中左边元素是系数向量  $\vec{f}$ ，右边元素则是一个单项式向量  $\otimes_{j=0}^2(1, X_j)$ 。

## Split-and-Fold 方法

在 Gemini 中，作者给出了一个基于一元多项式承诺方案（例如 KZG10）来检查张量积正确性的协议，基于该协议我们可以进一步构造实现多元到一元多项式转换。我们首先以提到的三维 MLE 多项式为例，解释 Tensor Product Check 的主要思路。

假设证明者想要证明实例： $\vec{f} = (f_0, \dots, f_7)$ ，满足关系  $\langle \vec{f}, \otimes_{j=0}^2(1, \rho_j) \rangle = u$ ，其中  $\rho_0, \rho_1, \rho_2$  在  $F$  有限域上。

方便起见，我们将向量  $\vec{f}$  中元素的下标改写成小端序的二进制表示，即

$$f_i = f_{i_0 i_1 i_2}, i = \langle (2^0, 2^1, 2^2), (i_0, i_1, i_2) \rangle \quad (5)$$

其中  $i_0, i_1, i_2 \in \{0, 1\}$ 。

将重新编号后的 tensor product 展开后，会得到下边这个等式

$$\begin{aligned} & \langle \vec{f}, \otimes_{j=0}^2(1, \rho_j) \rangle \\ = & f_{000} \rho_0^0 \rho_1^0 \rho_2^0 + f_{100} \rho_0^1 \rho_1^0 \rho_2^0 + f_{010} \rho_0^0 \rho_1^1 \rho_2^0 + f_{110} \rho_0^1 \rho_1^1 \rho_2^0 \\ + & f_{001} \rho_0^0 \rho_1^0 \rho_2^1 + f_{101} \rho_0^1 \rho_1^0 \rho_2^1 + f_{011} \rho_0^0 \rho_1^1 \rho_2^1 + f_{111} \rho_0^1 \rho_1^1 \rho_2^1 \end{aligned} \quad (6)$$

我们会发现每个系数  $f_{i_0 i_1 i_2}$  的下标与相乘的  $\rho_0, \rho_1, \rho_2$  的指数是一一对应的，即

$$f_{i_0 i_1 i_2} \cdot \rho_0^{i_0} \rho_1^{i_1} \rho_2^{i_2}, \text{ for all } i_0, i_1, i_2 \in \{0, 1\} \quad (7)$$

因此，我们总能够将  $\vec{f}$  按  $\rho_j$  的指数  $i_j$  分成等长的两部分，且两部分分别满足一个 tensor product 子问题。例如  $\vec{f}$  根据  $\rho_0$  划分后，可以得到关于  $\vec{f}_1, \vec{f}_2$  的两个 tensor product 关系：

$$\langle \vec{f}, \otimes_{j=0}^2(1, \rho_j) \rangle = \langle \vec{f}_1, \otimes_{j=1}^2(1, \rho_j) \rangle + \rho_0 \langle \vec{f}_2, \otimes_{j=1}^2(1, \rho_j) \rangle \quad (8)$$

注意到，这两个子问题中，内积的右边元素相同：均为  $\otimes_{j=1}^2(1, \rho_j)$ ，因此它们可以进一步合并成一个  $\langle \vec{f}_1 + \rho_0 \vec{f}_2, \otimes_{j=1}^2(1, \rho_j) \rangle$ 。

可以看到，对于一个  $N$  长度的向量  $\vec{f}$ ，我们将其分开为两个  $N/2$  长度的向量，再合并成一个向量。通过这一轮操作，我们把一个  $N$  大小的 tensor product 问题变成了  $N/2$  大小的问题。

以此类推，该问题可以最终被减少到 1 大小。

### 【多元多项式 Split-and-fold】

之前提到过，我们可以将一个 tensor product 关系看作多元多项式的求值关系，即

$$\langle \vec{f}, \otimes_{j=0}^2(1, \rho_j) \rangle = u \Leftrightarrow \tilde{f}(\rho_0, \rho_1, \rho_2) = u \quad (9)$$

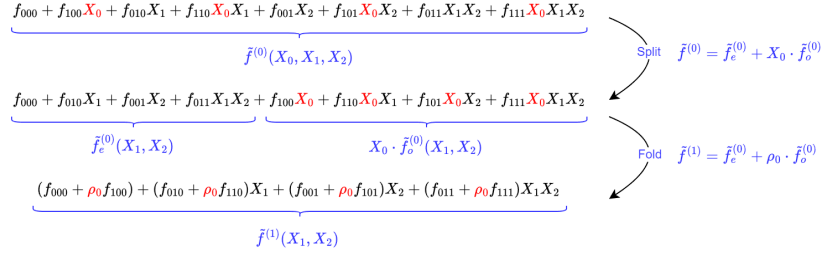
对于多元多项式  $\tilde{f}^{(0)} = \vec{f}$ ，其在第  $j \in [1, 3]$  轮时 split-and-fold 过程如下：

- **split:** 证明者将多元多项式  $\tilde{f}^{(j-1)}$  分成两部分：第一部分的任意单项式中包含阶数为 0 的  $X_j$ （记作  $\tilde{f}_e^{(j-1)}$ ），第二部分的任意单项式中包含阶数为 1 的  $X_{j-1}$ （记作  $X_{j-1} \cdot \tilde{f}_o^{(j-1)}$ ），三者满足

$$\tilde{f}^{(j-1)} = \tilde{f}_e^{(j-1)} + X_{j-1} \cdot \tilde{f}_o^{(j-1)} \quad (10)$$

- **fold:** 证明者将分开的两个多项式  $\tilde{f}_e^{(j-1)}, \tilde{f}_o^{(j-1)}$  线性组合, 组合时使用的权重为  $\rho_{j-1}$ , 得到新的多元多项式记作  $\tilde{f}^{(j)}(X) = \tilde{f}_e^{(j-1)}(X) + \rho_{j-1} \cdot \tilde{f}_o^{(j-1)}(X)$ 。

下图我们给出  $j = 1$  时的计算过程:



## Tensor Product 检查协议

通过上述递归算法, 我们将检查  $N$  长度的 tensor product 关系的正确性归约到检查  $n = \lceil \log N \rceil$  次 split-and-fold 过程的正确性。

实际上, 这一分治解决问题的思想 (split-and-fold) 在很多之前的协议中出现过, 如 Sumcheck, Bulletproofs 和 FRI。不同的是 Gemini 给出了基于 KZG10 来证明 split-and-fold 过程的协议, 该协议需要  $n = \log(|\vec{f}|)$  次交互。

我们给出证明 tensor product 关系的 PIOP 协议如下:

### 【Tensor-product 检查协议】

目标关系:  $\langle \vec{f}, \otimes_{j=0}^{n-1} (1, \rho_j) \rangle = u$

证明者输入: 公共参数, 实例  $x = (\rho_0, \dots, \rho_{n-1}, u)$ , 秘密  $w = \vec{f}$

验证者输入: 公共参数, 实例  $x = (\rho_0, \dots, \rho_{n-1}, u)$

1. 证明者构造一元多项式  $f^{(0)}(X) = f(X)$ 。
2. 对  $j \in 1, \dots, n$ , 证明者计算

$$f^{(j)}(X) = f_e^{(j-1)}(X) + \rho_{j-1} \cdot f_o^{(j-1)}(X) \quad (11)$$

其中  $f_e^{(j-1)}, f_o^{(j-1)}$  分别为  $f^{(j-1)}$  的偶数阶项和奇数阶项构成的多项式, 满足  $f^{(j-1)}(X) = f_e^{(j-1)}(X^2) + X \cdot f_o^{(j-1)}(X^2)$ 。

1. 证明者向验证者发送  $f^{(0)}, f^{(1)}, \dots, f^{(n-1)}$  的 Oracles。
2. 验证者随机选取挑战值  $\beta \leftarrow \mathbb{F}$  并对 Oracles 进行以下查询:

$$e^{(j-1)} := f^{(j-1)}(\beta), \bar{e}^{(j-1)} := f^{(j-1)}(-\beta), \hat{e}^{(j-1)} := f^{(j)}(\beta^2) \quad (12)$$

其中  $j = 1, \dots, n$ , 当  $j = n$  时, 忽略查询  $f^{(n)}(\beta^2)$ , 并直接令  $\hat{e}^{(n-1)} := u$ 。

1. 对  $j = 0, \dots, n-1$ , 验证者检查

$$\hat{e}^{(j)} = \frac{e^{(j)} + \bar{e}^{(j)}}{2} + \rho_j \cdot \frac{e^{(j)} - \bar{e}^{(j)}}{2\beta} \quad (13)$$

在每一轮中, 证明者会分别为 split 之前, 和 fold 之后得到的多项式生成 Oracles, 具体来说, 一个 split-and-fold 关系可以写成:

给定  $f(X), f_e(X), f_o(X), f'(X)$ , 权重  $\rho$ , 它们满足如下关系

$$\begin{aligned} f(X) &= f_e(X^2) + X \cdot f_o(X^2) && \% \text{ split} \\ f'(X) &= f_e(X) + \rho \cdot f_o(X) && \% \text{ fold} \end{aligned} \tag{14}$$

又因为偶次、奇次多项式分别满足 (1)  $f_e(X^2) = (f(X) + f(-X))/2$ , (2)  $f_o(X^2) = (f(X) - f(-X))/2X$ , 我们可以进一步地将上述两个等式写成一个, 即

$$f'(X^2) = \frac{f(X) + f(-X)}{2} + \rho \cdot \frac{f(X) - f(-X)}{2X} \tag{15}$$

要检查该等式成立, 验证者只需要在  $F$  有限域上随机选取一个挑战值  $\beta$ , 并检查  $X = \beta$  时  $f, f'$  的值是否满足关系即可。

## 多元到一元转换

在介绍多元到一元转换的协议的之前, 我们再深入分析一下 tensor product 协议中隐藏的一些原理。虽然 tensor product 协议的目标是证明一个多元多项式的取值, 但除了输入多元多项式的系数向量以外, 协议中涉及的多项式均为一元的。

我们不妨将 Split-and-fold 过程用一元多项式写出来:

**【一元多项式 Split-and-fold】** 在第  $j$  轮时:

- **split:** 证明者将一元多项式  $f^{(j-1)}$  分成两部分: 第一部分的任意单项式中包含阶数为偶数的  $X$  (记作  $f_e^{(j-1)}$ ), 第二部分的任意单项式中包含阶数为奇数的  $X$  (记作  $X \cdot f_o^{(j-1)}$ ), 三者满足

$$f^{(j-1)}(X) = f_e^{(j-1)}(X^2) + X \cdot f_o^{(j-1)}(X^2) \tag{16}$$

- **fold:** 证明者将分开的两个多项式  $f_e^{(j-1)}, f_o^{(j-1)}$  线性组合, 组合时使用的权重为  $\rho_{j-1}$ , 得到新的一元多项式记作  $f^{(j)}(X) = f_e^{(j-1)}(X) + \rho_{j-1} \cdot f_o^{(j-1)}(X)$ 。【注】这里我们需要引入一个额外的映射  $X^2 \mapsto X$  来得到  $f_e^{(j-1)}(X), f_o^{(j-1)}(X)$ 。

因此, tensor product 协议可以看作是证明者同步地在一元多项式  $f$  上执行一个递归算法来模拟  $\tilde{f}$  的计算过程,

我们以三维多项式为例, 描述第  $j = 1$  轮时的计算过程:

一元多项式中 split-and-fold 计算如下:

$$\begin{array}{l} \underbrace{f_{000} + f_{100}X + f_{010}X^2 + f_{110}XX^2 + f_{001}X^4 + f_{101}XX^2 + f_{011}X^6 + f_{111}XX^6}_{f^{(0)}(X)} \\ \underbrace{f_{000} + f_{010}X^2 + f_{001}X^4 + f_{011}X^6 + f_{100}X + f_{110}XX^2 + f_{101}XX^2 + f_{111}XX^6}_{\substack{f_e^{(0)}(X^2) \\ X \cdot f_o^{(0)}(X^2)}} \\ \underbrace{(f_{000} + \rho_0 f_{100}) + (f_{010} + \rho_0 f_{110})X^2 + (f_{001} + \rho_0 f_{101})X^4 + (f_{011} + \rho_0 f_{111})X^6}_{f^{(1)}(X^2)} \end{array} \begin{array}{l} \swarrow \text{Split } f^{(0)} = f_e^{(0)} + X \cdot f_o^{(0)} \\ \searrow \text{Fold } f^{(1)} = f_e^{(0)} + \rho_0 \cdot f_o^{(0)} \end{array}$$

与多元多项式 split-and-fold 对比, 一元多项式第一轮中的自变量  $X$  就对应多元中的  $X_0$ , 在第二轮中则是  $X^2$  对应  $X_1$ 。实际上, 这两个过程分别是对系数向量  $\vec{f}$  在不同「基」上的计算。

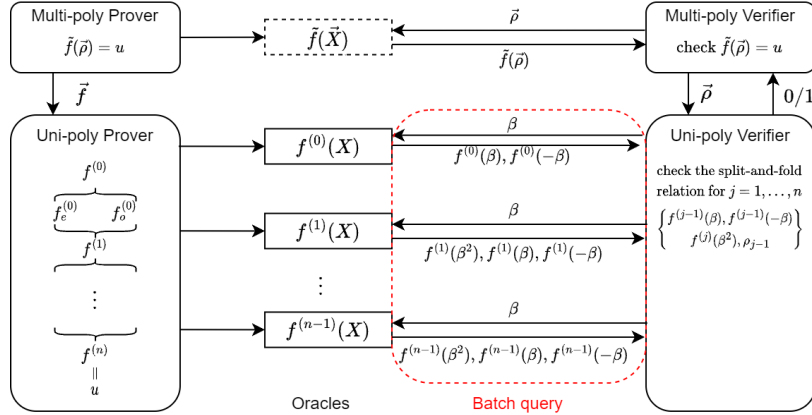
当我们需要在基  $\{X_0, X_1, X_2\}$  上计算多元多项式的值时, 我们只需要对应地在  $\{X^1, X^2, X^4\}$  上 (即一元多项式上) 同步地进行相同操作, 便可以用一元多项式模拟出多元多项式的求值过程。

更正式地说, 我们就得到了一个多元基向量空间到一元基向量空间的映射关系:

$$\iota : \{X_0, X_1, X_2\} \rightarrow \{X^1, X^2, X^4\} \quad (17)$$

因此，我们说 tensor product 协议为我们提供了一个从多元到一元的证明方法，即 multi-to-uni IOP。如下图所示，在理想情况下，我们希望证明者能够直接生成一个多元多项式的 Oracle 并发送给验证者。然而在工程中缺少高效的多元多项式承诺方案，证明者只能构造一个对 Tensor Product Check 的证明协议（也就是 Multi-Uni-IOP）来在一元多项式上模拟多元多项式求值的计算过程。

证明者需要发送  $n$  个一元多项式的 Oracles，分别让验证者进行查询并检查。由于这些检查彼此独立，验证者可以一次性对所有 Oracles 在某个点  $\beta$  上进行查询，而不需要  $O(n)$  个点。



## 基于KZG实现

对前文给出的 IOP 协议，我们可以部署一元多项式承诺方案 (KZG10) 将其编译为一个 AoK (Argument of Knowledge)。KZG10 能够支持一个多项式在某个点上的求值证明，其优点是拥有常数大小的证明，且支持批量证明。缺点是需要可信初始化，且证明复杂度相对较高（需要 FFT 运算）。

【注】由于我们将 IOP 编译为 Argument of Knowledge，因此 KZG10 需要满足 extractability，该性质的证明在 Marlin [CHM+19] 中给出。

我们先简单回顾一下 KZG10 的证明原理：给定公共参数： $\mathbb{G}_1, \mathbb{G}_2, \mathbb{G}_T, G, H, e$ 。在初始化阶段随机选取  $\tau \in F$  并计算  $\tau H \in \mathbb{G}_2$  和向量

$$(G, \tau G, \dots, \tau^{D-1} G, \tau^D G) \in \mathbb{G}_1^{D+1} \quad (18)$$

我们用中括号记号  $[a]_1$  来表示一个椭圆曲线群元素上的标量乘法  $a \cdot G$ 。KZG 证明过程如下：

1. 证明者计算  $d$  阶一元多项式  $f(X)$  的承诺  $[f(\tau)]_1 = \sum_{j=0}^d f_j \cdot \tau^j G$ 。
2. 证明者在  $\rho$  点上公开多项式的值为  $f(\rho) = u$ ，并计算商多项式

$$q(X) = \frac{f(X) - f(\rho)}{X - \rho} \quad (19)$$

生成求值证明  $[q(\tau)]_1$ 。

1. 验证者检查求值证明  $e([f(\tau)]_1 - [u]_1, [1]_2) = e([q(\tau)]_1, [\tau - \rho]_2)$ 。

因此，要编译 IOP 协议只需要分别对协议中产生的多项式  $f^{(1)}, \dots, f^{(n-1)}$  进行承诺，并在指定点  $\beta, -\beta, \beta^2$  上打开即可。但有两点仍然需要我们注意：（1）这些多项式的阶数并不相同，为了防止证明者作弊使用不满足阶数要求的多项式，需要采用 Marlin, Zeromorph [CHM+19, KT23] 中的方法来限制多项式的 Degree Bound。（2）大部分多项式都需要在  $\beta, -\beta, \beta^2$  这三个点上公开，如果对每个点分别生成求值证明会增加证明大小以及验证复杂度。多点求值证明技巧可以用来优化这个问题。

**Degree Bound 证明:** 为了证明  $\deg(f) \leq d$

- 证明者提供  $[f(\tau)]_1$  并附上  $[\tau^{D-d} \cdot f(\tau)]_1$  发送给验证者
- 验证者检查等式  $e([f(\tau)]_1, [1]_2) = e([\tau^{D-d} \cdot f(\tau)]_1, [\tau^{D-d}]_2)$

**多点求值证明:** 为了证明  $f(X)$  在  $\beta_1, \beta_2, \beta_3$  公开为  $u_1, u_2, u_3$

- 证明者随机生成一个阶数与  $f(X)$  相同的多项式  $g(X)$ , 该多项式需要经过点  $(\beta, u_1), (-\beta, u_2), (\beta^2, u_3)$
- 证明者提供  $[f(\tau)]_1$  和求值证明  $[q(\tau)]_1 = \frac{f(\tau) - g(\tau)}{(\tau - \beta_1)(\tau - \beta_2)(\tau - \beta_3)}$
- 验证者检查等式  $e([f(\tau)]_1 - [g(\tau)]_1, [1]_2) = e([q(\tau)]_1, [(\tau - \beta_1)(\tau - \beta_2)(\tau - \beta_3)]_2)$

【注】上述两个技巧都需要在 Setup 阶段额外生成  $(H, \tau H, \dots, \tau^{D-1} H, \tau^D H) \in \mathbb{G}_2^{D+1}$ 。

### 【协议描述】

下面我们先给出基于 KZG 编译的 Multi-to-Uni AoK 方案:

#### Instance

- 向量  $\vec{f}$  的一元多项式承诺  $[f(\tau)]_1$ , 长度  $N$
- 求值点向量  $\vec{\rho}$
- 求值结果  $\tilde{f}(\rho) = u$

#### Witness

- 多元多项式的系数向量  $\vec{f}$

#### 交互过程

1. 证明者生成多项式  $f^{(1)}, \dots, f^{(n-1)}$  并计算和发送它们的承诺  $[f^{(1)}(\tau)]_1, \dots, [f^{(n-1)}(\tau)]_1$
2. 证明者计算并发送多项式  $f^{(0)}, \dots, f^{(n-1)}$  的 degree bound 证明  $[\tau^{D-N \cdot 2^{-j+1}} \cdot f^{(j)}(\tau)]_1, j = 0, \dots, n-1$
3. 验证者随机选取点  $\beta$  并发送给证明者
4. 证明者计算每个多项式的求值证明, 其中

- $[q^{(0)}(\tau)]_1 = \frac{f^{(0)}(\tau) - g^{(0)}(\tau)}{(\tau - \beta)(\tau + \beta)} \% f^{(0)}(\beta), f^{(0)}(-\beta)$
- $[q^{(j)}(\tau)]_1 = \frac{f^{(j)}(\tau) - g^{(j)}(\tau)}{(\tau - \beta)(\tau + \beta)(\tau - \beta^2)} \% f^{(j)}(\beta), f^{(j)}(-\beta), f^{(j)}(\beta^2), j = 1, \dots, n-1$

1. 验证者检查:

- $f^{(0)}, \dots, f^{(n-1)}$  的 degree bound 证明  $[\tau^{D-N \cdot 2^{-j+1}} \cdot f^{(j)}(\tau)]_1, j = 0, \dots, n-1$  的正确性
- $f^{(0)}, \dots, f^{(n-1)}$  的多点求值证明  $[q^{(0)}(\tau)]_1, \dots, [q^{(n-1)}(\tau)]_1$  的正确性
- split-and-fold 关系的正确性, 即对  $j = 0, \dots, n-1$ , 下列等式是否成立:

$$\hat{e}^{(j)} = \frac{e^{(j)} + \bar{e}^{(j)}}{2} + \rho_j \cdot \frac{e^{(j)} - \bar{e}^{(j)}}{2\beta} \quad (20)$$

### 【性能分析】

- 证明大小:  $3 \log N \mathbb{G}_1$  元素
- 验证者计算量:  $4 \log N \text{ Pairing}, O(\log N) \text{ EccMul}^{\mathbb{G}_1 \text{ or } \mathbb{G}_2}$

# 参考文献

---

[BCH+22] Bootle, Jonathan, Alessandro Chiesa, Yuncong Hu, et al. "Gemini: Elastic SNARKs for Diverse Environments." *Cryptology ePrint Archive* (2022). <https://eprint.iacr.org/2022/420>

[KT23] Kohrita, Tohru, and Patrick Towa. "Zeromorph: Zero-knowledge multilinear-evaluation proofs from homomorphic univariate commitments." *Cryptology ePrint Archive* (2023). <https://eprint.iacr.org/2023/917>

[CHM+19] Chiesa, Alessandro, Yuncong Hu, Mary Maller, et al. "Marlin: Preprocessing zkSNARKs with Universal and Updatable SRS." *Cryptology ePrint Archive* (2019). <https://eprint.iacr.org/2019/1047>